DOI:10.16016/j.1000-5404.2000.08.020

间的缺血再灌注损伤也不足以产生大量的氧自由基[8]。然而,McKelvey等[9]发现22%的酶以次黄嘌呤氧化酶的形式存在,因此短时间的缺血足以导致明显的损害。氧自由基损害指蛋白多肽,使脂质过氧化并抑制DNA的合成[10]。但由于本实验观察的指标及术后检测时相点较少,故PTC组术后肝细胞合成功能及再生功能下降的原因尚需进一步的探讨。

参考文献:

[1] 梁力建,赖家明,黄洁夫.正确掌握肝血流阻断的时机与时限[J].肝胆外科杂志,1998,6(5):261-262.
[2] 黄志强.现代腹部外科学[M].长沙:湖南科学技术出版社,1997.274-276.
[3] Chijiiwa K, Nakano K, Kameoka N, *et al*. Proliferating cell nuclear antigen, plasma fibronectin, and liver regeneration rate after seventy percent hepatectomy in normal and cirrhotic rats[J]. Surgery, 1994, 116(3): 544-549.
[4] 王小鸣,李 序,张 明.前白蛋白(PA)在肝病检测中的临床意义的评价[J].白求恩医科大学学报,1997,23(3):274-275.
[5] Theocharis S E, Skopelitou A S, Margeli A P, *et al*. Proliferating cell nuclear antigen (PCNA) expression in regenerating rats liver after partial hepatectomy[J]. Dig Dis Sci, 1994, 39(2): 245-252.
[6] Kurki P, Vanderlaan F, Dolbeare J, *et al*. Expression of proliferating cell nuclear antigen(PCNA)/cyclin during the cell cycle[J]. Exp Cell Res, 1986, 166(2): 209-213.
[7] Parks D A, Granger D N. Ischemia-reperfusion injury: A radical review[J]. Hepatology, 1998, 8(4): 680.
[8] Nordstrom G, Seeman T, Hasselgren P. Benificial effect of allopurinol in liver ischemia[J]. Surgery, 1985, 97(6): 679.
[9] McKelvey T G, Hollwarth M E, Granger D N, *et al*. Mechanisms of conversion of xanthine dehydrogenase to xanthine oxidase in ischemic rat liver and kidney[J]. Am J Physiol, 1988, 254(5 Pt 1): G753-G760.
[10] Mccord T M. Oxygen-derived radicals: a link between reperfusion injury and inflammation[J]. Federation Proc, 1987, 46(5): 2 402-2 406.

(编辑 陈聪连)

文章编号:1000-5404(2000)07-0759-01

经验与短篇

用螺纹钉BA桩-冠联合修复后牙残根残冠

Restorations of posterior residual root and crown with spiral pin and BA resin Core-Crown

汪志德,游古莲,林景春,裘松波 (第三军医大学附属新桥医院口腔科,重庆 400037)

对磨牙大部缺损修复疗法的报道不多[1,2]。我们用螺纹钉BA桩-冠联合修复后牙残根残冠51例53牙,效果满意。

1 临床资料

1.1 一般资料

51例中男32例,女19例,年龄19~63岁。前磨牙16牙,磨牙37牙。53牙中残根15牙,残冠38牙,全冠16牙,1/2冠13牙,1/3冠9牙。患牙无松动,残根面距龈缘2 mm以上,根管充填后2周,无自觉症状。牙片见根周正常,无根折。

1.2 材料

牙用螺纹钉,不锈钢结扎丝,BA树脂。

1.3 方法

固位支架形成,在残根残冠断面距牙体边缘1.5~2 mm,沿根管长轴方向用0.7~0.8 mm车针制备针道2.5 mm深,针道间距2 mm。针道数,前磨牙,近远中颊舌(腭)各1;磨牙,近远中颊舌(腭)各2个。螺纹钉消毒后旋入针道,血管钳夹持不锈钢丝,将各个螺纹钉连接成立体支架,见图1。临床冠恢复:BA树脂包埋支架,恢复牙体缺损,见图2。注意形成窝沟、尖嵴,使

(下转768页)

作者简介:汪志德(1952-),男,湖北省谷城县人,副主任技师,主要从事口腔修复方面的研究,发表论文10篇。电话:(023)68755114-74801
收稿日期:1999-09-25;修回日期:2000-06-10

?1994-2016 China Academic Journal Electronic Publishing House. All rights reserved. http://www.cnki.net

疗实验,虽然报道不一,但转基因细胞都不同程度获得了对ACV的敏感性,能使动物体内的肿瘤停止生长、退化或完全消失[2,3]。我们应用肺腺癌细胞转TK基因后接种裸鼠皮下,与亲代细胞对照,腹腔给予ACV注射,能使A549-TK细胞接种的肿瘤停止生长,治疗前后体积变化不明显($P<0.05$),而亲代细胞接种所形成的肿瘤则明显增大($P<0.01$),不受治疗影响。虽然不能达到使肿瘤退化或消失,但也说明在体内可以抑制肿瘤生长。

目前,活体内基因转移有3种方式:①向肿瘤组织内注射病毒上清液;②向肿瘤内注射包装细胞;③用表达TK基因的肿瘤细胞直接接种。我们采用第3种方式,应该说肿瘤组织细胞全部表达TK基因,而前两种方式还存在病毒感染效率低下的问题,所以表达细胞阳性率不会太高。我们所采用的细胞转TK基因后对ACV的敏感性比亲代细胞提高40多倍,与Smythe[3]报道的相似。A549细胞本身对ACV极不敏感。一般大多数研究者报道不同类型的肿瘤细胞转TK基因后,对GCV(丙氧鸟苷)或ACV的敏感性比亲代细胞提高102-3倍,因此我们的治疗效果受到限制。肿瘤组织病理检查结果表明A549-TK细胞形成的肿瘤ACV治疗后组织中明显出现细胞坏死,组织结构模糊不清,而A549细胞接种的肿瘤细胞、组织结构完全正常,进一步说明ACV诱导了活体内转TK基因的肺癌细胞死亡。TK基因杀灭肿瘤细胞,特别是活体内肿瘤组织细胞的机制除TK酶外,特异性主动免疫反应起了主要作用[4,5]。TK基因表达细胞被ACV作用后产生凋亡,这种凋亡细胞分泌细胞因子如IL-1、TNFα等进入肿瘤组织,导致免疫活性细胞如$CD4^+$、$CD8^+$、NK等细胞聚集,这些免疫活性细胞也释放细胞因子,导致肿瘤组织出血坏死,局部出现炎症反应,单核细胞侵润,免疫调节分子如B7-1、B7-2、ICAM等表达上调,使肿瘤组织局部微环境由免疫抑制变为免疫激发状态,所以说ACV的毒性作用仅表现在早期对TK表达细胞的杀伤,而机体的免疫反应在这一体系中发挥了持久的抗肿瘤作用。

参考文献:

[1] Caruso M, Panis Y, Gagandeep S, *et al*. Regression of established macroscopic liver metastases after *in situ* transduction of a suicide gene[J]. Proc Natl Acad Sci USA, 1993, 90(8): 7 024—7 029.

[2] Lvarez R D, Curile D T. A phaseⅠ study of recombinant adenovirus vector-mediated intraperitoneal delivery of HSV-TK gene and intravenous gancciclovir for previously treated ovarian and extraovarian cancer patient[J]. Human Gene Therapy, 1997, 8(3): 283—287.

[3] Smythe W R, Hwang H C, Elshami A A, *et al*. Differential sensitivity of thoracic malignant tumors to adenovirus-mediated drug sensitization gene therapy[J]. J Thorac Cardiovascular Surg, 1995, 109(4): 626—630.

[4] Ramesh R, Marrogi A J, Munshi A, *et al*. *In vivo* analysis of the bystander effect: a cytokine cascade[J]. Exp Hematol, 1996, 24(7): 829—838.

[5] Freeman S M, Ramesh R, Marrogi A J, *et al*. Immune system in suicide-gene therapy[J]. Lancet, 1997, 394(9 044): 2—3.

(编辑 薛国文)

(上接759页)

之恢复咬合关系及咀嚼功能。完成锤造全冠:适当降低咬合面高度,减轻牙冠受力。

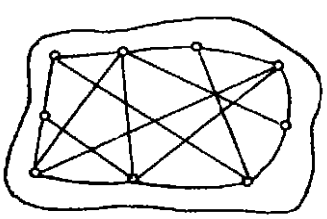


图1 桩钉固位支架横截面

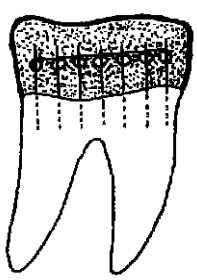


图2 临床牙冠形成

2 疗效判断标准及结果

成功:冠套完好,无主观症状,功能良好,计40牙(75.4%);稍差:邻接关系不良,有食物嵌塞,计9牙(16.7%);失败:修复体脱落,计4牙(7.7%)。

3 讨论

本法固位较常规疗法固位好,恢复良好的咀嚼功能,疗法简单,便于掌握和推广。注意要点:螺纹钉的选择以0.7~0.8 mm为之适宜。BA树脂恢复冠,加压整塑,防上出现气泡。锤造适当降咬合面及恢复邻接关系。

关键词:螺纹钉BA桩-冠;修复;残根残冠

中图法分类号:R783 文献标识码:B

参考文献:

[1] 张震霞,徐 双,王善昌.预成金属全冠在后牙残根残冠修复中的应用[J].实用口腔医学杂志,1997,13(3):187—189.

[2] 陈志勇,李文荟.用银汞合金桩-冠联合体修复后牙残根残冠(附118例临床观察)[J].口腔医学,1996,16(2):93.

(编辑 张大春)

?1994-2016 China Academic Journal Electronic Publishing House. All rights reserved. http://www.cnki.net